

# ベントナイトを含む試料のヒズミ軟化とせん断強度について

秋田工專 (学) ○ 佐々木 俊成  
 " (学) 藤原 秀季  
 " (正) 伊藤 駿

## 1. はじめに

ベントナイトなどを含む膨潤性の地盤の応力-ヒズミ関係を評価する研究は、あまり多く見受けられない。軟岩などの著しい塑性流動の現象や応力-ヒズミ関係の非線形性を解明する手法として、本研究では Richard-Abbott の提案式により検討してみた。

膨潤性の土を含むものはひじょうにヒズミ軟化が著しいので、この軟化をベントナイトの含有率によってどのように表示されるか、実験し理論的に考察したので以下にその概要を述べる。

## 2. 試料と実験方法

試料は、豊浦標準砂にベントナイト(クニケル-3T)を重量比で混合しベントナイトの含有率(Bc)10, 20, 30, 40, 50%によってB10, B20, B30, B40, B50の5種類とした。これを Proctor の相当エネルギーを与えて締め固め、各含有率における最適含水比状態の試料を作製した。

この試料は、容易に吸排水を行なわないので、三軸によるUU-Testを実施した。なお供試体は作製後24時間テシケータに静置し、実験時の三軸チャンバーの水温は $20 \pm 1^\circ$ に調整した。

## 3. ヒズミ軟化の表現法

軟岩やベントナイトを含む地盤のヒズミ硬化や軟化の現象を表示する方法としてはいろいろの試みが考えられるが、ここでは、Ramberg-Osgood式を改良した次式の応力( $\sigma$ )-ヒズミ( $\epsilon$ )を表示した Richard-Abbott の提案式を適用する。

$$\sigma = \frac{E_0 \epsilon}{\{1 + (E_0 \epsilon / \sigma_0)^m\}^{1/m}} + E_p \epsilon \quad ①$$

ここで、各定数は図-1を参照して次のようになる。

$E_0 = E_i - E_p$   $E_i$ : 初期弾性係数  $E_p$ : 塑性係数  
 なお、 $\sigma_0$ は  $E_p$  決定時の応力であり、 $m$  は  $\sigma - \epsilon$  曲線の形状によるパラメーターである。次に  $E_p = 0$  の時は

$$\sigma = \frac{E_0 \epsilon}{\{1 + (E_0 \epsilon / \sigma_0)^m\}^{1/m}} \quad ②$$

となり、弾完全塑性(elastic-perfectly plastic)  $\sigma - \epsilon$  曲線を表す。この時 Kondner の双曲線と同一である。

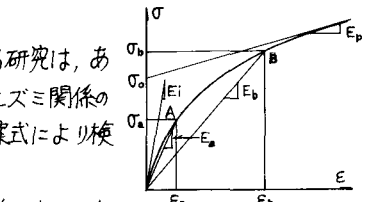


図-1 解析の表示モデル

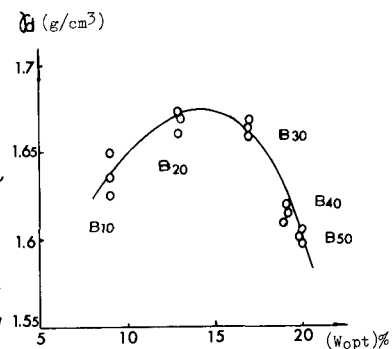


図-2 実験試料の  $\varphi_d - W_{opt}$

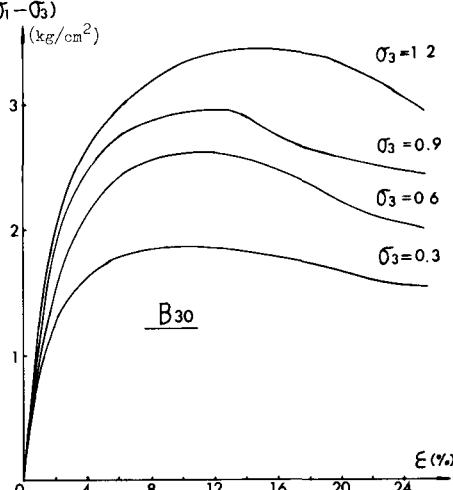


図-3 三軸試験(UU-Test)の一例

ヒズミ軟化は、ヒーク後の $\sigma-\varepsilon$ 曲線の接線勾配の $E_p = (\sigma_1 - \sigma_3)/\varepsilon$ に負の値を適用して描く。これは図-1に示すように $\sigma-\varepsilon$ 関係の適当な2点A, Bを選びれば各係数を次のように求めめる。例えば、 $E_a = \frac{1}{2}E_b$ とすると

$$A^m - 1 - \frac{1}{2^m}(B^m - 1) = 0 \quad (3)$$

ここで  $A = E_a/(E_a - E_p)$ ,  $B = E_b/(E_b - E_p)$

$$E_a = \sigma_a/\varepsilon_a, E_b = \sigma_b/\varepsilon_b$$

これより形状係数(m)は上式(3)を満足するようにして求めらるが、mが求まれば $\sigma_0$ も次のように決定する。

$$\sigma_0 = E_a \varepsilon / (A^m - 1)^{1/m} \quad (4)$$

#### 4. 実測と解析例

本研究における試料の最適含水比( $\omega_{opt}$ )とその乾燥密度( $\sigma_0$ )の関係は図-2のようであった。図示のように $B_{20} \sim B_{30}$ 間にねじりが最も大きいが最終強度( $\sigma_1 - \sigma_3$ )は $B_{10}$ で最も大きく現われた。

このような試料の $\sigma-\varepsilon$ 関係を描くと、例えば $B_{30}$ においては図-3のようになる。 $\sigma_3$ の大きさによる関係がよくわかるが最大強度に達するまでヒズミ硬化現象がみられ、その後はヒズミ軟化の現象が顕著である。このような $\sigma-\varepsilon$ 関係を統一的に表示すると図4のようである。Kondnerの表示法ではヒズミ硬化の現象は表現できるが軟化の挙動については表示できない。そこで式①によつてこれを近似すると図示のOEPのように残留応力状態に達するまでかなりの近似度で

表示できることがわかる。残留強度はこれによって推定できないが、ベントナイトを含む供試体の挙動がかなりの範囲まで良く説明できることが検証された。以上のような $B_{30}$ の実験結果より求められた式①の諸定数は $\sigma_3$ に対し図-5のようであった。 $\sigma_3$ の変化に伴なう各定数が一定の関係で分布していることがわかる。

次に図-6は、本実験で行った各 $B_c$ による $(\sigma_1 - \sigma_3)/E_f = E_f$ を表わしている。図からわかるように $B_c$ が小さいほど強度の割合にとがり小さくなることがわかり、その関係はほぼ次式のようであった

$$E_f = 1.688 \times 10^4 \times \frac{1}{(B_c)^2} \quad (5)$$

[むすび] 以上、ベントナイトを含む供試体の三軸試験により、ヒズミ硬化へ軟化現象について考察した。なお一面せん断試験も行なったので、三軸との関係について現在検討を進めている。

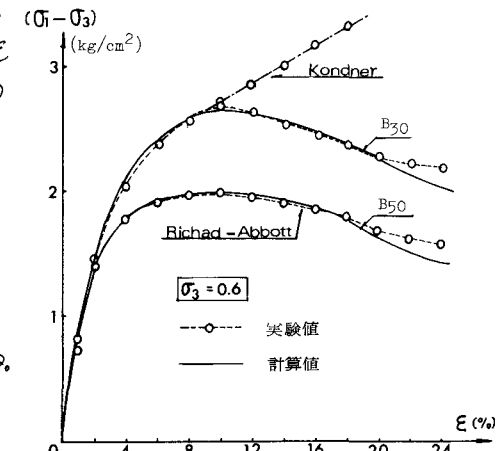


図-4 KondnerとRichard Abbottの方法による解析例

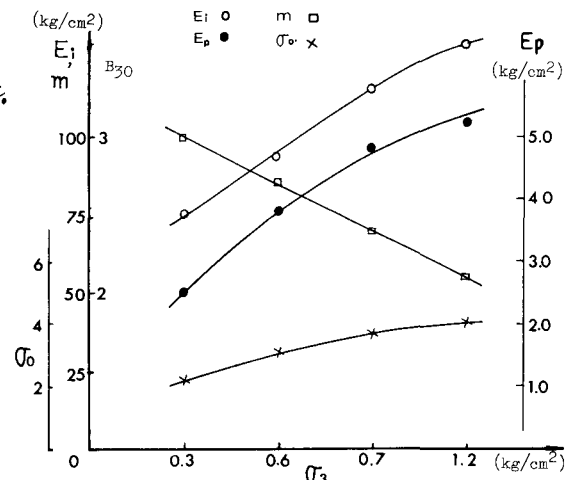


図-5  $B_{30}$ の試料に対する各定数変化

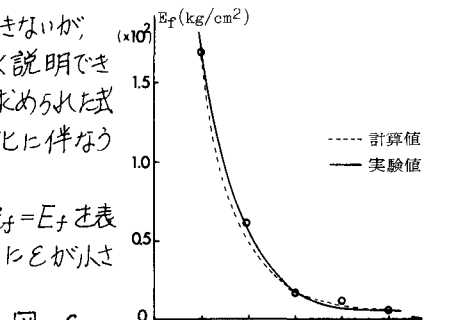


図-6 試料のベントナイト含有率と $E_f$ の関係